2 b 4 п ь 8 8 6 6 г Д О К Л А Д Ы

XVIII, № 3
1954

խ մբագրական կոլեգիա

Գ. Ս. ԴԱՎԹՑԱՆ, ՀՍՍՌ ԳԱ իսկական անդամ, Ա. Լ. ԹԱԽՏԱՋՅԱՆ, ՀՍՍՌ ԳԱ թղթակից ասդամ Վ. Հ. ՀԱՄԲԱՐՁՈՒՄՑԱՆ, ՀՍՍՌ ԳԱ իսկական անդամ (պաշ. խմբաղթւ), Վ. Հ. ՂԱՋԱՐՑԱՆ, Ա. ՄՆԱ-ՑԱԿԱՆՅԱՆ, Ա. Լ. ՄՆՋՈՑԱՆ, ՀՍՍՌ ԳԱ իսկական անդամ, ու. Գ. ՆԱԶոււով, ՀՍՍՌ ԳԱ թղթակից անդամ, Մ. Մ. ՋՐԲԱՇՑԱՆ, ՀՍՍՌ ԳԱ թղթակից անդամ (պաշ խմբագրի «Եղակալ)։

Редакционная коллегия

В. А. АМБАРЦУМЯН, действ. чл. АН Арм. ССР (отв. редактор), Г. С. ДАВТЯН, действ. чл. АН Арм. ССР, М. М. ДЖРБАШЯН, чл.-корресп. АН Арм. ССР (зам. отв. редактора), В. О. КАЗАРЯН, А. Н. МНАЦАКАНЯН, А. Л. МНДЖОЯН, действ. чл. АН Арм. ССР, А. Г. НАЗАРОВ, чл.-корресп. АН Арм. ССР, А. Л. ТАХТАДЖЯН, чл.-корресп. АН Арм. ССР.

የበዺԱՆԴԱԿበኮሎՅበԻՆ

Աստրոֆիզիկա	61
Ռ. Կ. Շանբազյան—Գալակտիկայի ինտեղրալ գույնի որոշումը Արեդակի շրջա- կայբում	64
Շինարարական մեխանիկա	
Ա. Գ. Նազաrով—Հայկական ՍՍՌ ԳԱ Թղթակից-անդամ—Սեյսմակայունու- թյան տեսության հավասարումները էներդիայի ցրման հաշվառմամբ	61
Դեղագործական քիմիա	
Ա. Լ. Մնջոյան, Հայկական ՍՍՌ ԳԱ իսկական անդամ, Վ. Գ. Աֆբիկյան և Մ. Թ. Գբիգույան—Հետագոտություն թ-ալկոկսիրենզոական ԹԹուների ածանցյալների	
սին Թեզի բնազավառում Հայրարում III. Ա. Լ. Մնջոյան, Հայրական ՍՍՌ ԴԱ իսկական անդամ, Հ. Լ. Մնջոյան և Օ. Ե. Գասպաւյան Հետադոտություն երկնիմ բանի կարրոնաթթվի ածանցյալների ընա- դավառում Հայորդում III	21
Երկրաբանություն	
Լ. Ա. Վաւդանյանց, ՀՍՍՌ ԳԱ ԹղԹակից-անդամ — Թոխմախկալայի լակոլիտը	83
AggmpmGnrpjnrG	
Ա. Գ. Առառացյան — Գաղտրիկազգիների ընտանիքի մի քանի տեսակների քրո-	8
Միջա ռաբանություն	
Ս. Ա. Վարդիկյան — Երկրաչափ թիթեռի նոր տեսակի նկարագրություն Eupi- thecia սեռից (Lepidopiera, Geometridae)	9:

СОДЕРЖАНИЕ

Астрофизика	Стр.
Р. К. Шахбазян—Определение интегрального цвета Галактики в окрестности Солица	65
Строительная механика	
А. Г. Назаров, чл. корресп. АН Армянской ССР—Уравнения теории сейсмостойкости с учетом рассеяния энергии	69
Фармацевтическая химия	
А. Л. Миджоян, действ. чл. АН Армянской ССР, В. Г. Африкян и М. Т. Григорян—Исследование в области синтеза производных п-алкоксибензойных кислот. Сообщение III	75 79
Геология	
Л. А. Варданянц, члкорресп. АН Армянской ССР—Лакколит Токмак-кая (Северный Кавказ)	83
Цитология	
А. Г. Араратян — О хромосомах некоторых видов семейства Бурачниковых	87
Энтомология	
С. А. Вардикян — Описание нового вида пяденицы из рода Eupithecia Curt. (Lepidoptera, Geometridae) из Армянской ССР	93

XVIII

1954

3

АСТРОФИЗИКА

Р. К. Шахбазян

Определение интегрального цвета Галактики в окрестности Солнца

(Представлено В. А. Амбарцумяном 15 I 1954)

Статистические подсчеты В. А. Амбарцумяна говорят о том, что Солнце расположено в такой области Галактики, которая по составу звездного населения скорее напоминает пространство между ветвями, чем область ветвей (1). Между тем исследования последних лет приводят к тому выводу, что Солнце находится в одной из ветвей Галактики (²).

В настоящей заметке, путем вычисления значений интегральных показателей цвета для шести площадок Каптейна, находящихся в высоких галактических широтах, сделана попытка определить характер окружающей Солнце области Галактики.

При этом мы исходили из следующих соображений:

При отсутствии избирательного поглощения показатель цвета в окрестности Солнца для наблюдателя, находящегося вне Галактики и расположенного в направлении ее полюса, равен показателю цвета того интегрального звездного излучения, которое должно наблюдаться расположенным на Земле наблюдателем в направлении полюса Галактики. Наличие избирательного поглощения может нарушить это равенство, но лишь немного, нбо избирательное поглощение в этом направлении мало. Поэтому интересно определить интегральный цвет излучения звезд Галактики в направлении ее полюса или хогя бы в площадках неба с большой галактической широгой.

С этой целью нами взяты избранные площадки Каптейна: 55, 56, 57, 59, 80, 81, галактические широты которых превосходят 50°. Спектральные типы звезд, входящих в указанные площадки, взяты из Бергедорфского спектрального каталога. Определнв путем подсчета количество звезд для различных интервалов звездных величин $m(8^m5 < m < 14^m)$ и спектральных классов в отдельности и пользуясь нижеследующей формулой, мы вычислили интегральный показатель цвега для каждой

из вышеприведенных площалом

$$C_{\text{инт}} = m_{pg}^{\text{инт}} - m_{pv}^{\text{инт}} = -2.5 \text{ lg } \frac{I_{pg}^{\text{инт}}}{I_{pv}^{\text{инт}}},$$
 (1)

где Ічнт — интегральная яркость площадки Каптейна;

$$I_{pg}^{\text{HHT}} = \sum_{m} n_{ms} 10^{-0.4} \frac{m_s}{s}$$

$$I_{pv}^{\text{HHT}} = \sum_{m} n_{ms} 10^{-0.4} \frac{m_s - c_s}{s},$$
 $m.s_n$

 n_{m_s} — количество звезд спектрального типа s в интервале от $m-0^m1$ до $m+0^m1$ в фотографических звездных величинах, а суммирование проведено по всем значениям m и по всем спектральным типам. Переход от фотографических звездных величин, данных в Бергедорфском спектральном каталоге, к фотовизуальным осуществлен нами с помощью нормальных показателей цвета c_s соответствующих спектральных классов (3)*, что допустимо, так как нашей целью пока является вычисление интегрального показателя цвета, который был бы при отсутствии селективного поглощения.

С целью уменьшения влияния флуктуаций в величине показателя цвета, обусловленных отдельными яркими звездами, звезды с m < 8.5 были сначала отброшены. Однако затем для учета ярких звезд тем же способом произведен подсчет количества звезд ярче 8.5 величины, но уже в большей области (в квадрате со стороной в 10° и с центром в центре площадки Каптейна). Умножив полученную таким образом суммарную интенсивность ярких звезд на отношение площадей $\frac{3.5 \times 3.5}{10 \times 10}$ числитель дает размеры площадок Каптейна), мы получим ту часть интегральной поверхностной яркости площадки Каптейна, которая обусловлена звездами ярче 8^m 5, в предположении более равномерного распределения ярких звезд в окрестности исследуемой области. Очевидно, что конечная интегральная яркость площадки Каптейна булет равна сумме интегральных яркостей, обусловленных звездами с $m > 8^m$ 5 и с $m \le 8^m$ 5.

В табл. 1 приведены полученные таким образом значения показагелей цвета для шести площадок Каптейна.

				Sauga 1					
№№ площ-	1	b	n	n'	n"	C'	C	HD	
55 56 57 59 80 81	166° 163° 30 13 240 301	+74 +80 +84 +59 +76 +75	749 934 726 692 588 530	50 60 51 59 77 63	1	0,49 0,56 0,52 0,55 0,48 0,51	0,54 0,37 0,54 0,77 0,48 0,73	129989. 113226	$c' = 0^m 52$ $\overline{c} = 0^m 57$

^{*} Нормальные показатели цвета, приведенные в табл. 6 (3), согласно примечанию Беккера, уменьшены на 0^m15 .

с — интегральный показатель цвета после учета ярких звезд;

n — количество звезд с $m \gg 8^m 5$ в площадке Каптейна;

Сравнительно большие значения показателей цвета для площадок 59 и 81 обусловлены тем, что в эти области случайно попали отдельные, очень яркие звезды поздних спектральных классов.

Надо отметить, что полученные нами показатели цвета нуждаются в поправках двоякого рода, причем обе поправки имеют одинаковый знак.

1. На величине m, взятой из наблюдений, сказывается влияние межзвездного поглощения, между тем как для вычисления показателя цвета, который был бы при отсутствии поглощения, нам следовало бы исправить значение m за поглощение в фотографических лучах. Из формулы для $c^{\text{инт}}$ видно, что исключение поглощения, входящего в m_{pg} , лишь увеличит значение интегрального показателя цвета.

$$C_{\text{инт}} = -2.5 \text{ lg } \frac{I_{pg}^{\text{инт}}}{I_{pv}^{\text{инт}}} = +2.5 \text{ lg } \frac{\Sigma i_{pv}}{\Sigma i_{pg}} = +2.5 \text{ lg } \frac{\Sigma i_{pg} \, 10^{0.4 c_s}}{\Sigma i_{pg}}.$$
 (2)

Действительно, учет поглощения увеличит i_{pg} . Но поглощение особенно сильно влияет на звезды более далекие, которые являются, как правило, более слабыми карликами, а следовательно и более красными звездами, для которых c больше и, при введении поправки, i_{pg} для этих звезд увеличится относительно сильнее. Поэтому интегральный показатель цвета, являющийся по формуле (2) средневзвешенным значением величины c_s , станет ближе к показателю цвета красных звезд, т. е. возрастет.

2. Нами не учтены те звезды, которые слабее предельной величины Бергедорфского каталога. Очевидно, что большинство таких слабых звезд принадлежит к более поздним спектральным классам. Поэтому они обладают большими показателями цвета, и учет их, в свою очередь, увеличит значение интегрального показателя цвета (2).

Если учесть и влияние того селективного межзвездного поглощения, которое будет иметь место для наблюдателя, рассматривающего Галактику извне, то значение интегрального показателя цвета еще более возрастет.

Таким образом, полученные нами интегральные показатели цвета являются минимальными и, следовательно, с еще большей уверевностью можно сказать, что цвет Галактики в окрестности Солнда для наблюдателя, расположенного вне Галактики в направлении высоких галактических широт,—желтый.

Между тем мы знаем, что обычно спиральные ветви внешних Галактик имеют белый цвет, благодаря примеси большого количества голубых гигантов. Итак, цвет непосредственных окрестностей Солнца для наблюдателя, рассматривающего Галактику снаружи, представляется краснее, чем обычный цвет ветвей, что согласуется с выводом В. А. Амбарцумяна (1).

Надо отметить, что этот вывод не находится в противоречии с выводом Моргана и его сотрудников, ибо ассоциации, через которые по предположению Моргана проходит ветвь Галактики, расположены в ветвях Галактики отдельными клочками. Вполне возможно, что Солнце, находясь в пределах спирали, расположено на краю ветви или в промежутке между ассоциациями. Тогда на значение показателя цвета, вычисленного в направлении полюса Галактики, население расположенных поблизости от Солнца О-ассоциаций, естественно, влиять не будет.

Бюраканская астрофизическая обсерватория Академии наук Армянской ССР

n. 4. ՇԱՀԲԱԶՑԱՆ

Գալակտիկայի ինտեգրալ գույնի որոշումը Արեգակի ջրջակայքում

Ստացված է միջին ինտեղրալ դույնի ցուցիչը կապտեյնի ընտրված 6 տիրույթների համար, որը սելեկտիվ կլանման բացակայության դեպքում հավասար կլիներ Գալակտիկայից ղուրս, նրա ընհոի ուղղությամբ դտնվող դիտողի կողմից Աբեզակի չըջակայքի համար որոշված գույնի ցուցչին։

Ստացվ ոծ զույնի ցուցիչի միջին արժեքի (ճ տիրույթների համար c 0^m 57) համեմատությունը արտաքին Գալակտիկայի թևերի սովորական դույնի հետ ցույց է տալիս, որ Գալակտիկայի դույնը Արեղակի չրջակայքում ավելի կարմիր է, քան արտաքին դալակտիկաների թևերի սովորական դույնը։

Սելեկտիվ կլանման և Բերդեդորֆյան կատալոցի մեջ չմտած թույլ աստղերի հաշվի

առնումը ավելի պետք է մեծացնի հաչված դույնի ցուցիչի արժեքը։

Ստացված արդյունքից չի կարելի դալ վերջնական հետևության Արեդակի դիրքի մասին Գալակտիկայում, որովհետև նույնպիսի արդյունք կստացվեր, եթե Արևդակր դանվեր Թևնրից դուրս և կամ Թևի մեջ դանվող Օ-տիպի աստղասփյուռների արանքում։

AMTEPATYPA-PPU4UUNDAPENPE

¹ В. А. Амбарцумян, Астроном ж., т. 23, вып. 5, 257—268, 1946. ² Морган, Уитфорд и Кодэ, Ар. J., 118. 318, 1953. ³ W. Becker, Sterne und Sternsysteme (23), 1950. ⁴ Морган, Шарплесс и Остерброк, А. J. 57, 3, 1952.

СТРОИТЕЛЬНАЯ МЕХАНИКА

А. Г. Назаров, чл-корресп. АН Армянской ССР

Уравнения теории сейсмостойкости с учетом рассеяния энергии

(Представлено 22 I 1954)

Сооружение, при землетрясении, находится под воздействием вертикальных и горизонтальных сейсмических колебаний, вызывающих в нем силы инерции в тех же направлениях.

При составлении уравнений колебаний сооружения будем исходить из следующих предпосылок.

1. Скорость распространения сейсмических колебаний как в основании сооружения, так и в самом сооружении мгновенна. что, как известно, допустимо в первом приближении для большинства случаев (1,2).

2. Сооружение является упругой системой, допускающей упругий тистерезис по следующему закону: комплексный вектор напряжений опережает комплексный вектор деформаций на постоянный, достаточно малый угол (3, 4).

Доказано, что эта гипотеза дает результаты, значительно лучше

согласующиеся с фактами, чем гипотеза Фохта (6).

3. Рассматриваются малые линейные колебания около положения устойчивого равновесия. Это условие также может быть принято для большинства случаев.

В соответствии с общим правилом составления уравнений колеблющейся системы с учетом упругого гистерезиса составим вначале таковые же уравнения в предположении, что имеет место закон Гука ().

Обозначим компоненты смещений почвы при землетрясении, в прямоугольных координатах, через $x_0(t)$, $y_0(t)$, $z_0(t)$. Здесь мы подразумеваем, что компоненты перемещения точек основания не зависят от их координат и являются лишь функцией времени, что находится

в соответствии с первой предпосылкой.

Под действием инерционных сил, вызванных колебаниями почвы, отдельные точки упругой системы получат перемещения относительно положения ее равновесия. Компоненты относительных перемещений вдоль осей x, y, z обозначим соответственно через $u_0(x, y, z, t), v_0(x, y, z, t)$ $z,\ t)$ и $w_{0}(x,y,z,t)$, где x,y,z— координаты точек упругой системы. Полные перемещения упругой системы запишутся так:

$$u = u_0 + x_0,$$

 $v = v_0 + y_0,$
 $w = w_0 + z_0.$ (1)

Задачей нашей является отыскание величин относительных перемещений u_0 , v_0 , w_0 , если известны смещения почвы x_0 , y_0 , z_0 .

Зная величины u_0 , v_0 , w_0 , нетрудно определить напряженное состояние упругой системы.

Пусть компоненты деформированного состояния упругой системы вдоль осей x, y, z, отвечающие к-той частоте свободных колебаний, соответственно имеют вид:

$$q_{k}(t) X_{k}(x, y, z),$$

 $q_{k}(t) Y_{k}(x, y, z),$
 $q_{k}(t) Z_{k}(x, y, z).$ (2)

Здесь $q_k(t)$ представляет собою к-ую координату упругой системы, а X_k , Y_k , Z_k — компоненты к-ой фундаментальной функции $\varphi_k(x, y, z)$.

Стало быть относительные перемещения точек упругой системы можно записать в виде следующих рядов:

$$u_{0} = \sum_{k=1}^{\infty} q_{k}(t) X_{k}(x, y, z),$$

$$v_{0} = \sum_{k=1}^{\infty} q_{k}(t) Y_{k}(x, y, z),$$

$$w_{0} = \sum_{k=1}^{\infty} q_{k}(t) Z_{k}(x, y, z).$$

$$(3)$$

Поскольку компоненты фундаментальных функций X_k , Y_k , Z_k считаем известными с точностью до постоянного множителя, то задача сводится к определению главных координат q_k (t), для чего воспользуемся уравнениями Лагранжа:

$$\frac{d}{dt}\frac{\partial T}{\partial q_k'} - \frac{\partial T}{\partial q_k} + \frac{\partial V}{\partial q_k} = 0. \tag{4}$$

Потенциальная энергия системы, в силу ортогональности q_k , имеет следующую квадратичную форму

$$V = \frac{1}{2} \sum_{k=1}^{\infty} a_k q_k^2, \tag{5}$$

где a_k постоянные, получаемые в результате интегрирования.

Вычислим теперь кинетическую энергию системы. Пусть ее плотность в точке x, y, z есть ρ (x, y, z). Тогда полная кинетическая энергия системы определится следующим образом:

$$T = \frac{1}{2} \int \int \int (u'^2 + v'^2 + w'^2) \ \rho(x, y, z) \ dxdydz, \tag{6}$$

где u', v', w' компоненты скоростей вдоль осей x, y. z.

Здесь интеграл распространен на всю область, занятую упругой системой.

Подставляя производные по времени от выражений (1) и (3) в (6), получим:

$$T = \frac{1}{2}M \left(x_0^{2} + y_0^{2} + z_0^{2}\right) + \sum_{k=1}^{\infty} q_k' \left(b_k^{(1)} x_0' + b_k^{(2)} y_0' + b_k^{(3)} z_0'\right) + \frac{1}{2} \sum_{k=1}^{\infty} c_k q_k^{2}, (7)$$

где

$$M = \iiint \rho \, dx \, dy \, dz,$$

$$b_k^{(1)} = \iiint X_k \rho \, dx \, dy \, dz,$$

$$b_k^{(2)} = \iiint Z_k \rho \, dx \, dy \, dz,$$

$$c_k = \iiint (X_k^2 + Y_k^2 + Z_k^2) \rho \, dx \, dy \, dz.$$

$$(8)$$

Здесь M—суммарная масса системы, а $b_k^{(1)}$, $b_k^{(2)}$, $b_k^{(3)}$ и c_k — некоторые постоянные.

Подставляя значения V и T в (4) получим:

$$a_k q_k + c_k q_k = -b_k^{(1)} x_0 - b_k^{(2)} y_0 - b_k^{(3)} z_0$$
 (9)

нли

$$q_{k}^{"} + \ddot{p}_{k}^{2} q_{k} = -\beta_{k}^{(1)} x_{0}^{"} - \beta_{k}^{(2)} y_{0}^{"} - \beta_{k}^{(3)} z_{0}^{"}, \tag{10}$$

где

$$p_k^* = \frac{a_k}{c_k}$$
, $\beta_k^{(1)} = \frac{b_k^{(1)}}{c_k}$ и т. д.

Как известно, p_k представляет собою к-ую круговую частоту свободных колебаний, отвечающую к-ой фундаментальной функции $\varphi_k(x, y, z)$.

Теперь следует полученные уравнения переделать для учета рассеяния энергии в соответствии с высказанной выше гипотезой об упругом гистерезисе. Заметим, что упругие постоянные E и G системы входят в p_k^2 в числитель и притом в первой степени, поэтому в общем случае можно записать

$$p_k^2 = \gamma_k E + \delta_k G,$$

где үк и б. — некоторые постоянные.

Здесь коэффициент Пуассона не выписывается, так как при аналязе работы сооружений, без ущерба для точности, его можно считать равным нулю.

Для учета рассеяния энергии, вызванного упругим гистерезисом,

вначение p_k^2 следует заменить выражением

причем силы и деформации рассматриваем как комплексные величины Последнему выражению придадим более компактный вид:

$$p_k e^{i\alpha_k} = \gamma_k E e^{i\alpha} + \delta_k G e^{i\alpha_1}, \qquad (11)$$

причем

$$p_k^4 = (\gamma_k E \cos \alpha + \delta_k G \cos \alpha_1)^2 + (\gamma_k E \sin \alpha + \delta_k G \sin \alpha_1)^2$$

H

$$\frac{\gamma_k E \sin \alpha + \delta_k G \sin \alpha_1}{\gamma_k E \cos \alpha + \delta_k G \cos \alpha_1}$$

Итак, окончательно, интересующая нас система дифференциальных уравнений колебания сооружения при землетрясении, с учетом явления гистерезиса, всегда может быть представлена в виде:

$$q_k'' + p_k^2 e^{i\alpha_k} q_k = -\beta_k^{(1)} x'' - \beta_k^{(2)} y_0'' - \beta_k^{(3)} z_0''.$$
 (12)

• В силу линейности полученных уравнений можно находить решения для каждой компоненты сейсмического ускорения в отдельности, и найденные решения сложить.

Нами предлагается следующий метод решения этих уравнений (⁵) . В сейсмическом районе устанавливаются приборы, моделирующие колебания сооружений при землетрясении.

Приборы эти, в принципе, представляют из себя систему несвязанных между собою упругих маятников с различными периодами свободных колебаний и снабженных гистерезисным затуханием.

Пусть обобщенные координаты маятников этого прибора ик.

Тогда для какой-либо компоненты сейсмического ускорения почвы, скажем для x, имеем:

$$q_k^* + p_k^2 e^{i\alpha_k} q_k = -\beta_k^{(1)} x_0^*,$$
 (13)

$$u_{k}^{"} + p_{k}^{2} e^{i\alpha_{k}} u_{k} = -\gamma_{k} x_{0}^{"}. \tag{14}$$

Оба эти уравнения отличаются лишь постоянным множителем, поэтому должно быть

$$\frac{q_k}{u_k} = \frac{q_k}{u_k} = \frac{\beta_k^{(1)}}{\gamma_k}. \tag{15}$$

Отсюда следует:

$$q_{k}(t) = \frac{\beta_{k}^{(1)}}{\gamma_{k}} u_{k}(t). \tag{16}$$

Таким образом, зная закон изменения обобщенной координаты маятника прибора (по непосредственным измерениям), круговая часто-

^{*} Байот предложил решение уравнений сейсмостойкости другого типа, путем интегрирования акселерограмм применительно к к-ой фундаментальной функции (7, 8). Предложенный им прием обладает, с нашей точки зрения, двумя существенными недостатками: массовая установка акселерографов в сейсмических районах затруднительна; результаты интегрирования акселерограмм для жестких сооружений, с периодом колебаний до 0,3—0,4 сек., педостоверны.

та свободных колебаний каторого p_k и гистерезисное затухание которого таково же, что и для к-ой фундаментальной функции сооружения, можно определить значение обобщенной координаты сооружения в функции от времени.

В целях дальнейшего существенного упрощения решения задачи, коль скоро для практических целей достаточна грубая оценка силы землетрясения, мы предлагаем ограничиваться фиксацией максимальных значений нормальных координат q_k . Это значит, что в моделирующем приборе достаточно фиксировать лишь максимальные значения отклоненных относительных положений маятников, что приводит к существенному упрощению конструкции прибора из-за устранения записывающего барабана и, вместе с тем, отпадает надобность в постоянном уходе за ним.

Прибор этот можно назвать максимальным многомаятниковым сейсмометром.

На методе обработки показаний таких приборов, для оценки сейсмических сил, действующих на сооружение, мы подробно остановимся в другой работе. Некоторые соображения об этом приведены в одной из наших работ (5).

Максимальный многомаятниковый сейсмометр последней конструкции, так называемый АИС-2, представляет собой систему из шести сферических маятников с периодами свободных колебаний 0,05; 0,1; 0,2; 0,4; 0,8 и 1,2 сек. для фиксации горизонтальных колебаний и трех маятников с периодами свободных колебаний 0,05; 0,1 и 0,2 сек. для фиксации вертикальных колебаний почвы.

Нами предлагается чрезвычайно простая конструкция сферического маятника. Он представляет собою цилиндрический груз, насаженный на стальной прут. Прут упруго заделан в эластичную (резиновую) пробку, всаженную в трубку, принадлежащую системе земля.

Пробка одновременно выполняет функции пружины и гистерезисного демпфера. Смещения маятника фиксируются кассетой А. К. Шаншиева, упрощенной и приспособленной для сферических маятников Р. С. Варданяном. Точность отсчета прибора 10 р. Пробный экземпляр такого прибора установлен на сейсмической станции "Ереван". Опытное применение этих приборов имело место для оценки влияния взрывных волн на сооружения.

С помощью сейсмометроз можно также решать задачу о сейсмическом микрорайонировании, для чего их нужно расставить в различных почвенных, гидрогеологических и морфологических условиях для сравнительной оценки их показаний.

Для возможности использования и очень слабых землетрясений, в целях сейсмического микрорайонирования, М. Г. Хачияном, по на-

^{*} Насколько нам известно, сферический маятник для одномаятникового сейсмометра впервые применен С. В. Медведевым, но у маятника этого сейсмометра прут, к которому прикреплена масса, играет роль пружины, демифер принят магнятный а запись осуществляется по копоти.

шему заданию, сконструирован прецизионный трехмаятниковый сейсмометр с гистерезисным затуханием и с оптической записью. Периоды свободных колебаний маятников в этом приборе приняты равными 0,2, 0,4 и 0,8 сек.

Приведенные выше уравнения сейсмостойкости могут быть использованы и для моделирования сооружений, как динамических систем.

Как видно из этих уравнений, при моделировании, постоянную гистерезиса α, представляющую безразмерную величину, следует принимать такую же, что и для оригинала.

Институт строительных материалов и сооружений Академии наук Армянской ССР

ሀ. ዓ. ՆԱԶԱՐՈՎ

Սեյումակայունության տեսություն հավասարումները եներգիայի ցրման հաշվաումամբ

Արխատանքում դիտվում են երկրարարժի ժամանակ կառուցվածքների տատանումների ընդհանուր դիմիերենցիալ հավասարումների՝ հաշվի առնելով կոնստրուկցիայի նյունի առաձղային հիստերեսիսը։ Այդ հավասարումների մոտավոր լուծումը առաջարկվում է կատարել մաքսիմալ րաղմաձոձանակավոր սեյսմոմետրի օգնությամբ, որի առանձին ձոձանակների տատանումները մոդելացնում են կառուցվածքների տատանումները։

Այդ դործիքի ձոձանակների մաքսիմում տեղաչարժերի վերլուծությունը թույլ է տալիս դնահատելու, թե ինչպես են իրենց պահում կառուցվածքները երկրաչարժի ժամա-Նակ։ Երևանի սեյսմիկ կայանում դրված է այդպիսի դործիքի փորձնական օրինակը։

ЛИТЕРАТУРА— РРИЧИВОВ В ЗПРВ

1 Н. Н. Ботвинкин, Руководство по сейсмостойкости сооружений, Саогиз, 1933, 2 К. С. Завриев, Динамика сооружений. 3 А. Г. Назаров, ДАН Арм. ССР, XVI, 3, 1953. 4 А. Г. Назаров, Изв. АН Арм. ССР, VI, 4, 1953. 5 А. Г. Назаров. Изв. АН Арм. ССР, 3, 1947 6 Е. С. Сорокин, Метод учета неупругого сопротивления материала при расчете конструкций на колебания. Сб. исследования по динамике сооружений. Стройиздат, 1951. 7 М. А. Байот, Bull. of the Seism. Soc. of. America, Vol. 31. 2, April, 1941. 8 М. А. Байот, Proc. American Society of Civil Engineers, Yanuary, 1942,

1954

ФАРМАЦЕВТИЧЕСКАЯ ХИМИЯ

А. Л. Миджоян, действ. чл. АН Армянской ССР, В. Г. Африкян и М. Т. Григорян

Исследование в области синтеза производных п-алкоксибензойных кислот

Сообщение III. а, β-диметил-ү-диалкиламинопропиловые эфиры п-алкоксибензойных кислот

(Представлено 20 VIII 1953)

В предыдущих сообщениях (1,2) были описаны некоторые амяноэфиры п-алкоксибензойных кислот. В этих соединениях в качестве аминоспирта были использованы α-метил-γ-диалкиламинопропанолы. Предварительное изучение их физиологических свойств показало наличие определенной активности.

В целях расширения начатых нами исследований в области синтеза производных п-алкоксибензойных кислот и в частности выяснения роли аминоалкильного остатка в вопросе выявления биологической активности, нами был синтезирован новый гомологический ряд алкаминоэфиров с общей формулой

$$R_{1}O = C - CH - CH - CH_{2} - N$$

$$= C - CH - CH - CH_{2} - N$$

$$= CH_{3} CH_{3}$$

$$R$$

В этом случае, так же как и в предыдущих группах, R равен метилу, этилу, R, варьировался от метила до октила, включая и разветвленные радикалы.

Получены четвертичные аммонийные соли, как то: иодметилаты,

нодэтилаты и пр., из которых не все удалось закристаллизовать.

Формулы полученных соединений, а также некоторые данные, карактеризующие их физико-химические свойства, приведены в таблицах 1 и 2.

Подробное описание синтезов и результаты биологических ис-

следований будут сообщены отдельно.

В этом сообщении не приводятся данные о низших гомологах, синтезированных и описанных Л. В. Гюльбудагяном в его кандидатской диссертации.

	Z Townson.		Плотность и коэффи-					Анализ в %				Температура плавления солей		
R	тура кипения	o 1 c	d ^t	T) t	вычис-	найдено	ская фор- мула	вычис-	найдено	вычис-	найдено	пикрат	CHal	C ₂ H ₃ I
CH ₃ CH—CH— CH ₃	88,5 174—175 2 307,4	20	0.9961	1,5032	88,96	91,23	CINH20NO3	70,35	70,48	9,44	9,43	157°	94-95	
CH ₃ —(CH ₂),—	76,8 196—197 1 321,8	20	0,9905	1,4981	93,58	95,62	C ₁₉ H ₃₁ NO ₃	71,02	70,89	9,65	9,45	118°	-	-
CH ₃ -(CH ₂) ₅ -	74,8 245—246 2 335,8	20	0,9891	1,5030	98,19	100,09	C2, H33NO3	71,64	71,84	9.85	9,73	100°	101-105°	97—98°
CH _a CH-(CH ₂) _a - CH ₈	75,8 200 - 201° 2 335,3	20	0,9840	1,5018	98,19	100,14	C20H33NO3	71,64	71,81	9,85	9,87			-
CH ₃ —(CH ₂) ₆ —	73,0219 - 220 349,3	20	0,9774	1,4968	102,81	104,60	C ₂₁ H ₃₅ NO ₃	72,21	72,02	10,02	10,17	116°		-
CH ₃ CH—(CH ₂) ₄ — CH ₃	75,2198—199 2 349,8													
CH ₃ —(CH ₃);—	54.7,215 -216° 2 363.5	5 20	0,9825	1,5032	107,43	109,26	C22H37NO3	72,72	72,57	10,19	10,02	126		95 – 96°
CH ₂ —CH ₂ —	54,7,215 - 216° 2 363,3 54,0 230 - 231° 2 355,4	20	1,0522	1,5348	103,83	102,64	C ₂₃ H ₂₉ NO ₃	74,36	74,89	8,16	8,66	-		

$$RO = C - O - CH - CH - CH_2 - N CH_2 - CH_3$$
 $CH_2 - CH_3$
 $CH_3 - CH_3$
 $CH_3 - CH_3$

R	С Темпера-			Плотность и коэффициент преломления			4 1 4 4 4			С		3 B 0/ ₀		Температура плавления солей			
	тура кипения	ни(M	te	d ₄	nt	вычис-	найдено	Эмпириче- ская фор- мула	вычис-	найдено	вычис-	найдено	пикрат	CHal	C ₂ H ₅ I	
CH ₃ CH—CH ₂ — CH ₃	86,7	184—186°	2	335,5	20	0,9862	1,5010	98,20	100,23	C ₂₀ H ₃₃ NO ₃	71,64	71,68	9,85	10,03		100—101°	92—93
CH ₃ -(CH ₂) ₄ -	73,7	213-214	1	349,5	20	0,9813	1,4958	102,82	104,01	C ₁ H ₃₅ NO ₃	72,21	72,27	10,02	10,25	151°	-	-
CH ₃ —(CH ₂);—	77,9	251—252°	2	363,5	20	0,9826	1,5020	107,43	109,02	C ₂₂ H ₃₇ NO ₃	72,72	72,97	10,19	10,42	91°	-	93 – 94
CH ₃ CH—(CH ₂) ₃ —	76,8	3 241 — 242	2	363,5	20	0,9724	1,4984	107,43	108,68	C ₂₂ H ₃₇ NO ₃	72,72	72,84	10,19	10, 3			
CH ₃ —(CH ₂) ₆ —	66,6	6 224 – 225	1	377,5	20	0,9699	1,4959	112,05	113,68	C ₂₃ H ₃₅ NO ₃	73,21	73,47	10,34	10,34	-	-	
CH ₃ CH—(CH ₂) ₄ —	61,	5 237 – 238	2	3/7,5	20	0,9677	1,4946	112,05	113,70	C ₂₃ H ₃₈ NO ₃	73,21	73,41	10,34	10,51	-	-	
CH ₃ -(CH ₂) ₇ -	61,	9 224 — 225	2.5	391,5	20	0,9666	1,4962	116,67	118,20	C ₃₄ H ₄₁ NO ₃	73,66	73,47	110,49	10,35	-	-	-
$CH_3 - (CH_2)_7 -CH_2 - CH_2 -$	50,	6 250 – 251	2	383,5	20	1,0510	1,5452	113,08	115,41	C ₂₄ H ₃₃ NO ₃	75,19	75,09	8,61	8,28	-	-	

Элементарный анализ и определение физических констант выполнены в нашей лаборатории С. Н. Тонаканян и Л. Е. Тер-Минасяном.

Лаборатория фармацевтической химии Академии наук Армянской ССР

Ա. Լ. ՄՆՋՈՅԱՆ, Վ. Գ. ԱՖՐԻԿՅԱՆ ԵՎ Մ. թ. ԳՐԻԳՈՐՑԱՆ

Հետազոտություն թ-ալկոկսիբենզոական թթուների ածանցյալների սինթեզի բնագավառում

Հաղուդում III. p-ալկոկսիբենգոական թթուների α, β-դիմեթիլ-γդիայկիկամինոպրոպանոլային էթերները

Նախորդ հաղորդումների մեջ (1.2) նկարագրված մի խումբ ամինոԷսթերների աինթեցի համար օգտագործված էին գ-մեթիլ-ү-դիալկիլամինոպրոպիլ սպիրտները։

Ստացված միացությունների թիոլոգիական հատկությունների ուսումնասիրության Նախնական տվյալները հիմք հանդիսացան խորացնելու հետաղոտությունները p-ալկակախ թենզոական թթուների բնադավառում։

Այս հաղորդման մեջ բերված են մեր կողմից սինթեղված α, β-դիմեթիլ-լ-**գիալկի**լամինոպրոպիլ սպիրտների էսթերները ը-ալկոկսիրենդոական թթուների հետ

Ստացված միացությունների ֆորմուլաները և նրանց հատկությունները բ**նորոշադ** ժի քանի քիմիական ու ֆիղիկական կոնստանտները բերված են 1 և 2 աղյուսակներում։

ЛИТЕРАТУРА— ԳՐԱԿԱՆՈՒԹՅՈՒЪ

1 А. Л. Мнджоян, В. Г. Африкян, А. А. Дохикян и А. П. Оганесян, ДАН Арм. ССР, XVIII, 1, 1954. ² А. Л. Мнджоян, В. Г. Африкян и А. А. Дохикян, ДАН Арм. ССР, XVIII, 2, 1954.

ФАРМАЦЕВТИЧЕСКАЯ ХИМИЯ

А. Л. Миджоян, действ. чл. АН Армянской ССР, О. Л. Миджоян и О. Е. Гаспарян

Исследование в области синтеза производных двухосновных карбоновых кислот

Сообщение III. Производные глутаровой кислоты (Представлено 20 VIII 1953)

Фармакологическое изучение производных янтарной кислоты, описанных в предыдущих сообщениях (1, 2), показало, что в случае сохранения кислотной части молекулы направление и сила действия препаратов меняются в зависимости от изменения строения аминоспиртового остатка, в частности количества и типа азота.

Логическим продолжением начатых работ являлось изучение зависимости биологических свойств от изменения строения кислотной части исследованных аминоэфиров янтарной кислоты. С этой целью были проведены синтезы аналогичных производных глутаровой кислоты.

Среди двухосновных карбоновых кислот глутаровая кислота сравнительно редко встречается в природе. В небольших количествах она находится в соке сахарной свеклы (3) и неочищенной овечьей шерсти (4). Однако х-кето- и аминоглутаровые кислоты являются одними из основных продуктов обмена протеинов и углеводов, играя важную роль в жизнедеятельности, как макро-, так и микроорганизмов.

Установлено, что при тетанических судорогах повышается количество кетоглутаровой кислоты в крови и в спинномозговой жидкости (⁶). У больных шизофренией также наблюдается увеличение количества

кетоглутаровой кислоты (6) в крови.

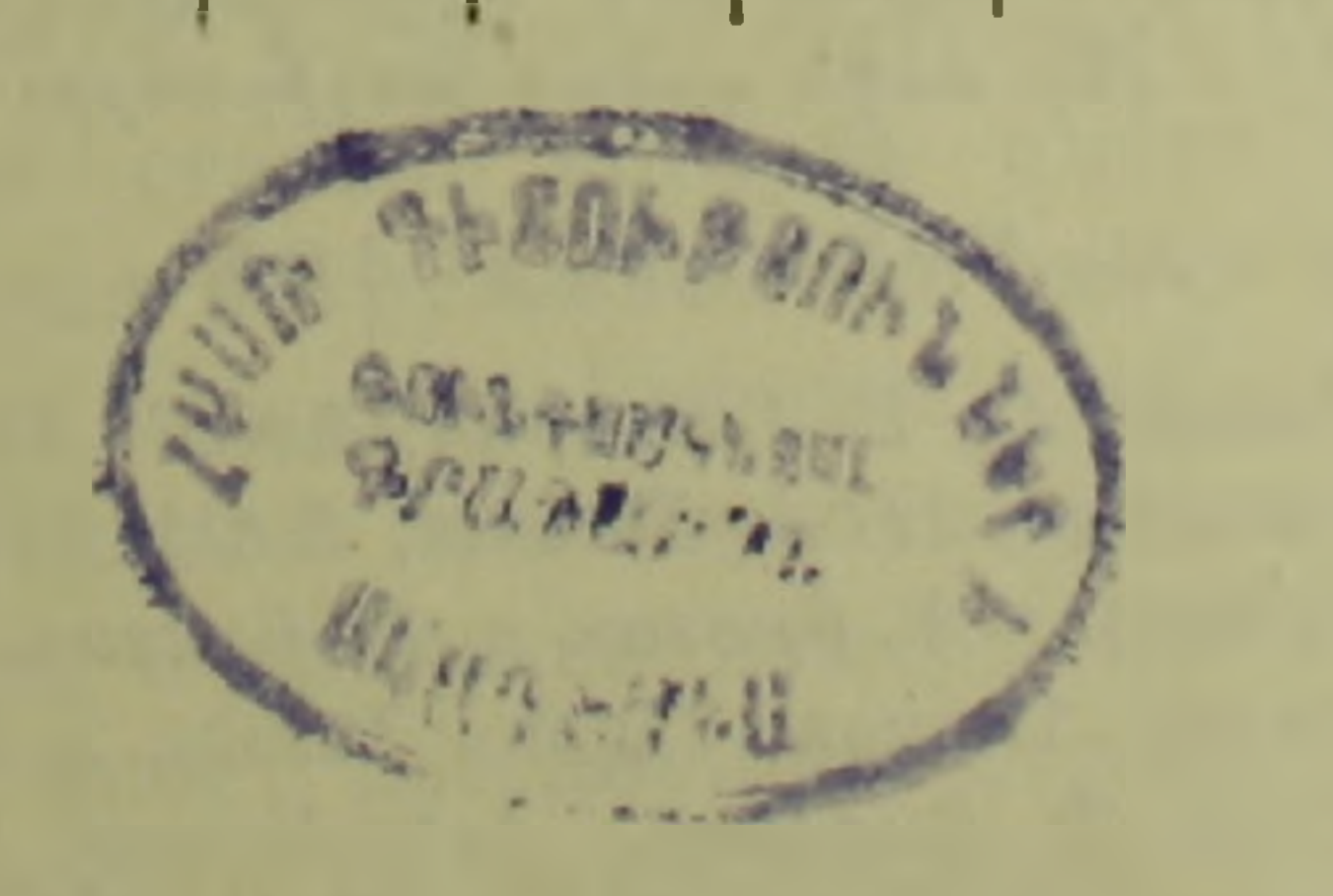
Сама глутаровая кислота почти не использована в синтезе биологически активных соединений и данные ее фармакологических свойств весьма скудны. Так, например, установлено, что наряду с другими двухосновными кислотами глутаровая кислота повышает способность поглощения кислорода эритроцитами крови (7), проявляет каталитическую активность при синтезе аминокислот тканью печени (8) задерживает выделение янтарной кислоты из организма (9) и т. д.

Учитывая своеобразие физико-химических и биологических свойств

				0		0		
	9%	кипс ния	HE B MM		Плотность и коэффициент преломления		MR	
	Выход в	ыход			d ²⁰	n _D ²⁰	вычис-	найдено
CH ₃ N-CH ₂ -CH ₂ - CH ₃	75	140°	1	274,4	1,0093	1,4470	73,42	72,63
CH ₃ -CH ₂ N-CH ₃ CH ₂	54,4	172°	1	330,5	0,9773	1,4513	91,89	91,11
CH ₃ . N - CH ₂ CH ₂ - CH- CH ₃ CH ₃	21	168°	2	330,1	0,9656	1,4477	91,89	91,61
CH ₃ —CH ₄ . N—CH ₂ —CH ₄ —CH— CH ₃ —CH ₃ CH ₃	87	191°	1	386,6	0,9455	1,4501	110,37	109,90
CH ₃ $N-CH_2-C-CH_2-$ CH_3 CH_3	47	180°	1	358,5	0,9638	1,4504	101,13	100,04
CH ₃ —CH ₂ N—CH ₂ —CCH ₃ CH ₃ CH ₃ CH ₃ CH ₃	63,4	183—184°	1	414,6	0,9535	1,4538	119,60	117,70
CH ₃ N-CH ₂ -CH-CH- CH ₃ CH ₃ CH ₃ CH ₃	60	164	1	358,5	0,9537	1,4484	101,13	100,71
CH ₃ -CH ₂ N-CH ₂ —CH-CH- CH ₃ —CH ₃ CH ₃ CH ₃	72	190—191°	1	414,6	0,9341	1,4485	119,60	118,93

^{*} В кристаллическом состоянии выделить не удалось.

	A	пали	1 3 B	96	Tou	ки пла	вления с	оле й
Общая фор-	вычис- пено найдено		- Juc-	найдено	х лоргид- ратов	оксала-	иодметила- 10В	иодэтила-
	вычи	найд лено пайд		най				
C ₁₃ H ₂₆ O ₄ N ₂	56,93	56,68	9,48	9,70	152°	168	217°	118
C ₁₇ H ₈₄ O ₄ N ₂	61,81	61,55	10,3	10,06	85—86°	8990	126°	147-148
C ₁₇ H ₃₄ O ₄ N ₂	61,81	62,04	10,3	10,06	84-85	125—126	181	124—125
C ₂₁ H ₄₂ O ₄ N ₂	65,57	65,39	10,88	10,91	a*	126-127	118	190 – 191
C19H-8O4N2	63,68	63,37	10,61	10,27	а	139—140	205	135 – 136
C ₂₃ H ₄₅ O ₄ N ₂	66,06	66,08	11,00	11,11	a	а	a	а
C ₁₉ H ₃₈ O ₄ N ₂	63,69	63,26	10,61	10,52	a	139—140	183-184	3
-C23H46O4N2	66,06	66,23	11,00	11,38	a	138	202-203	ä
							1	1



глутаровой кислоты по сравнению с янтарной, мы осуществили синтез аминоэфиров со следующей общей формулой:

$$R-O-C-CH_{2}-CH_{2}-CH_{2}-C-O-R$$
,

надеясь, что это различие приведет к получению соединений также иного физиологического действия.

Некоторые физико-химические константы полученных соединений приведены в таблице. Подробные данные о способах получения этих веществ, а также результаты фармакологических испытаний будут опубликованы отдельно.

Лаборатория фармацевтической химии Академии наук Армянской ССР

Ա. L. ՄՆՋՈՅԱՆ, Z. L. ՄՆՋՈՅԱՆ ԵՎ O. Ե. ԳԱՍՊԱՐՅԱՆ

Հետագոտություն երկհիմքանի կարբոնաթթվի ածանցյալների բնագավառում

Հաղուդում III. Գլուsաբաթթվի ածանցյալները

Նախորդ հաղորդումներում (1.2) թերված միացությունների ֆիդիոլոդիական հատկությունների ուսումնասիրությունները պարդեցին, որ սադաթթվի ամինոէսթերների աղդեցության ուղղությունն ու խորությունը սերտորեն կախված են ամոնոսպիրտային մասի թաղադրությունից ու կառուցված չից։

Բնական է, որ այս աշխատանքները, որոնց նպատակն է ուսումնասիրել օրդանական միացությունների քիմիական կառուցվածքի և բիոլոդիական աղդեցության միջև եղած օրինաչափությունները, պիտի ծավալվեին առաջին հերթին այն ուղղությամր, որ ծնարավորություն ստեղծվեր սլարդելու նաև թթվային մասի փոփոխություններից բխող հատկությունները։

լեյս առնչությամը է, որ կատարված են աղյուսակում բերված՝ գլուտարաթթվի մի

շարք ըսև ացանցյանրեսի ոկրնբենրեն:

Մինչև այժմ դյուտարաննուն չատ քիչ է օդտադործված եղել ֆիզիոլոդիական ակտիմ քիմիական նյուների սիննեզի մեջ։ Նույնիսկ մարուր գլուտարաննվի մասին եղած
ծարմակոլոգիական տվյալները շատ քիչ են ընորոշում նրա հատկունյունները։ Այսպես,
օրինակ՝ հայտնի է, որ դլուտարաննուն, մյուս երկհիմբանի ննդանրի նման, ուժեղացնում է ննվածնի կլանումը արյան կարմիր դնդիկների կողմից, կատալիտիկ դեր է
տաղում լյարդում սիննեղվող ամինոննանաների նկատմամը, կասեցնում է սննդաննվի հեոացումը օրդանիդմից և այլն։

չատկությունների տարրերությունները սիտի ունենան նոր ֆիզիոլոգիական հատկությունների առարոերություները սիտի ունենան նոր ֆիզիոլոգիական հատկություն-Հաշվի առննլով դլուտարաթթվել և սադաթթվի և իրոլոգիական ու ֆիզիոլոգիական հատկություն-

ЛИТЕРАТУРА— ԳՐԱԿԱՆՈՒԹЗՈՒՆ

1 А. Л. Миджоян, О. Л. Миджоян, О. Е. Гаспарян, ДАН Арм. ССР. XVII, 4, 1953. 2 А. Л. Миджоян, О. Л. Миджоян, Н. А. Едбиян, ДАН Арм. ССР. XVII, 5, 1953. 3 Ф. Липпманн, В. 24, 3301 (1891). 4 А. Буизин и Ф. Буизин, Ј. Тh. 1888, 160, С. г. 107, 789. 5 С. Асакура и др., Osaka Diagaku Igaku Zasshi, 2, 395—405 (1950). (С. А. 45, 6733 g (1951)). 6 В. Бузакино, Ф. Виллано, Аста Neurol. 2, 61—65 (1947). (С. А. 42, 8940 d (1948)). 7 П. М. Носсал, Australian J. Exp. Biol. Med. Sci. 26, 123—38 (1948). (С. А. 42, 7399g (1948)). 8 М. Г. Кристман, J. Biol. Chem. 167, 77—100 (1 47). 9 В. Гюнтер, Z. Physiol. Chem. 282, 185—91 (1947). (С. А. 43, 5469 (1949).

ГЕОЛОГИЯ

Л. А. Варданянц, чл.-корресп. АН Армянской ССР

Лакколит Токмак-кая (Северный Кавказ)

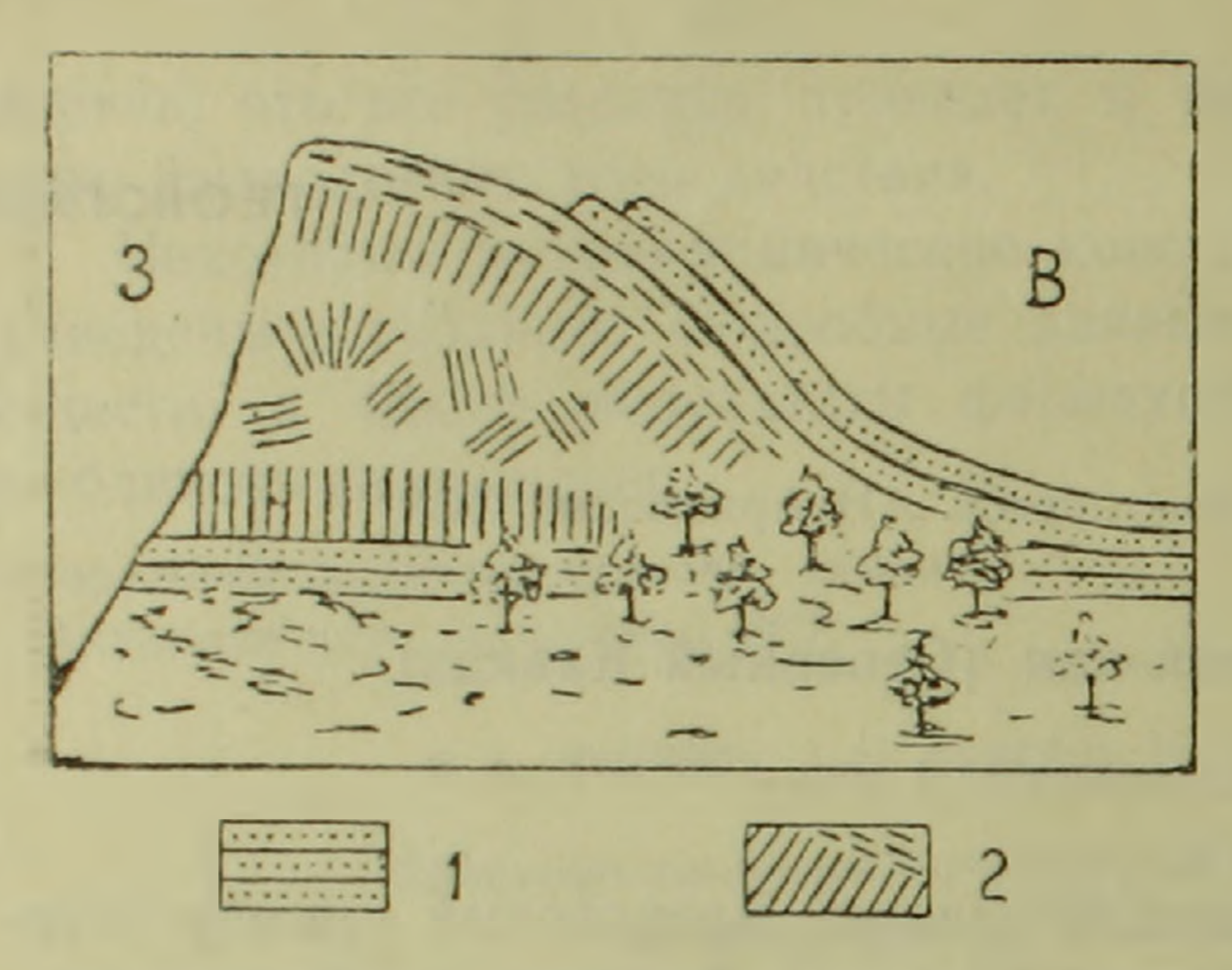
(Представлено 29 1 1954)

Лакколит Токмак-кая, представляющий прекрасный пример такого рода образований, находится на Северном Кавказе в окрестностях города Клухори (Грузинская ССР), несколько южнее с. Нижне-Маринского, и слагает небольшую холмообразную возвышенность. Западная часть лакколита уничтожена эрозией, в южной же его части эрозия вскрыла интрузивное тело лишь на небольшую глубину. В кровле лакколита и, особенно, на его восточном склоне, сохранились остатки покрывавших лакколит осадочных пород. Поэтому общее строение лакколита и залегание облекающих его пород устанавливается вполне ясно. Схематический широтный разрез лакколита изображен на прилагаемом рисунке.

В плане лакколит имеет овальную форму и вытянут с севера к югу. Длина его около 500 м, а ширина не более 250 м. Интрузия приурочена к мощной пачке монолитных песчаников, залегающих здесь под ааленским горизонтом. Лакколит разделяет пачку на две части. Нижняя часть пачки, подстилающая основание лакколита, лежит почти горизонтально, верхняя же часть, налегающая на лакколит, изогнута горбом и в кровле интрузии уже в значительной мере уничтожена эрозией. На восточном, более пологом склоне горы Токмаккая падение песчаников направлено к юго-востоку под углом до 30° и круче. К западу, в сторону глубокой балки, гора Токмак-кая обрывается отвесной стеной, которая имеет высоту во много десятков метров и сложена интрузивной породой. В обнаженных частях интрузии почти везде можно наблюдать прекрасно выраженную столбчатую отдельность. Толщина столбов обычная, в пределах нескольких десятков сантиметров, а длина их измеряется многими метрами.

Интрузия имеет расслоенное строение. В нижнем слое, лежащем почти горизонтально на подстилающем песчанике, который тоже залегает почти горизонтально, столбы отдельности стоят вертикально.

В вышележащих частях интрузии столбы расположены наклонно и частью даже веерообразно, а в верхнем слое, вдоль кровли лакколита, столбы лежат перпендикулярно к его наружной наклонной поверхности. Наконец, вдоль самого контакта с покрывающими песча-



Схематический широтный разрез лакколита Токмак-кая в его южной части. 1—монолитные песчаники; 2—интрузивная порода со столбчатой и плитчатой отдельностью.

никами, в слое мощностью до нескольких метров, развита не столбчатая, а плитчатая отдельность.

Вся внутренняя часть лакколитовой интрузии сложена черной порфировой породой базальтового облика, легко растрескивающейся и распадающейся при ударе молотком иногда на мелкие куски в связи с наличием в породе большого количества стекла. Периферические же части интрузии, ее самый нижний и верхний слои, сложены серой или зеленовато-серой породой с обликом андезита.

Переход от одной разности к другой—резкий и сопровождается появлением продольных трещин отдельности вдоль их границы. Во вмещающем песчанике изменений не наблюдалось. Всего для исследования было взято 12 образцов—№ 283—294, притом № 283 из корневой части интрузии (см. ниже), № 292 из покрывающих песчаников, а остальные—из самого лакколита.

В шлифах черная разность породы близка к базальту. Основная масса в ней состоит из лейст очень основного плагиоклаза (№ 80—90). из столбиков и зерен диопсидовидного пироксена, зерен магнетита и из стекла. окрашенного чаще в буроватый, реже в грязно-зеленый цвет. Кроме того, здесь много неправильных участков, заполненных мелкочешуйчатым серпентином охристо-желтого цвета.

Фенокристаллы в черной разности представлены очень основным плагиоклазом (№ 80—100), моноклинным пироксеном, имеющим как бы опацитизированное ядро, и псевдоморфозами серпентина по оливину. Опацитизация пироксена обусловлена тем, что ядро его фенокристаллов было сложено первоначально гиперстеном, кое-где сохранившимся в свежем состоянии.

Серая порода периферической части интрузии имеет в шлифах облик андезита или андезито-базальта. Основная масса здесь чаще трахитоидная, реже гиалопилитовая, притом интерсертальная и с миндалинами. Состоит она из лейст менее основного плагиоклаза (№ 50—60), магнетита и хлорито-карбонатового мезостазиса. Появляется также эпимагматический кварц, а возможно, и халцедон.

В серой разности фенокристаллы представлены основным плагноклазом (№ 60—80) и пироксеном или роговой обманкой, полностью опацитизированными. Псевдоморфозы по этим двум минералам чрезвычайно сходны с неполно опацитизированным пироксеном черной разности интрузивной породы, и в некоторых случаях их сечения в шлифах имеют контуры, очень типичные именно для роговой обманки.

Химический анализ был сделан для черной и серой разности иструзивной породы. Результаты анализа, представленные в таблице, показывают почти полное тождество состава обеих разностей. отличающихся друг от друга сколько-нибуль существенно только соотношением окислов железа, а именно, в черной разности преобладает

закись, а в сегой-окись железа. Такое соотношение окислов железа является совершенно очевидным результатом окисления закиси железа в окись под влиянием кислорода воздуха, проникающего из атмосферы в близповерхностные участки горных пород. Более высокая потеря при прокаливании в серой разности объясняется наличием карбоната в составе мезостазиса. По общему валовому химическому составу интрузивная порода лакколита Токмак-кая определяется как андезито-базальт, близкий к базальту, что вполне согласуется и с результамикроскопического исследования породы.

К северу от лакколита, несколько ниже его подножия, имеется в песчаниках дайкоподобное образование такой же черной породы, как и в самом лакколите. Оно вытянуто в меридиональном направлении и имеет мощность порядка одного-двух десятков метров. Повидимому, это — корневая часть лакколитовой интрузии, т. е. та дайка, по которой про- исходило внедрение магматического расплава в толшу монолитных песчаников.

Таблица

Химический состав интрузивной породы лакколита горы Токмаккая. Образец № 287— черпая разность из внутренней части интрузивного тела; аналитик Е. А.
Свержинская. Образец № 289—-серая разность из периферической части интрузии; аналитик А. Н.
Аксельрод. Анализы произведены в лаборатории Всесоюзного геологического института (ЕСЕГЕИ)
в Ленинграде.

№ 289 Nº 287 55,30 56,74 SiO. 1,14 1,40 TiO₂ 19,57 18 60 Al_2O_3 3,99 3,44 Fe_2O_3 2,50 4,36 FeO 0,10 0,15 MnO 3.05 2,51 MgO 5,84 5,66 CaO 1,07 1,16 K₂O 4,09 3,75 Na.O 2,03 Пот. при прок. 1,31 1,39 0,81 H₀O 100,47 99,92 Сумма

Песчаники, к которым приурочена лакколитовая интрузия, имеют, вероятнее всего, тоарский возраст, и их образование предшествовало непосредственно тому перерыву и связанному с ним этапу континентального режима, который имел здесь место перед авленской трансгрессией. Во время этого перерыва в данной области достаточно интенсивно проявилась вулканическая деятельность, оставившая следы в виде мощного пакета из туфогенных образований и излияний лав, под которыми здесь погребен до-

вольно сильно пересеченный рельеф тоарского времени. В составе таких эффузий имеются породы разного состава, от липарито-дацитов до базальтов, но преобладают андезиты и андезито-базальты, порой вполне подобные базальтам лакколита Токмак-кая. Поэтому можно полагать, что лакколит Токмак-кая имеет также нижнеюрский (тоарский) возраст и представляет одно из проявлений эффузивной вулканической деятельности предааленской эпохи.

Всесоюзный геологический институт

L. u. Վuրդuvauva

Թոխմախկալայի լակոլիտը

որվածում տրվում է Թոխմախկալայի ըաղալտային ինտրուզիայի նկարադրությունը,
որի լակոլիտային ընույթը բոլորովին պարզ է դառնում շնորհիվ այն բանի որ լակոլիտի նստված քային ապարների ծածկոցը դդալի չափով էրոզիայի է ենթարկված։ Ինտրուդիվ ապարի համար հոդվածում ընրված են նրա հանքարանական-պետրոգրաֆիական և
քիմիական ընութադրերը, որոնք թույլ են տալիս ապարը որոշվում է հավանարար որպես
տոսրի, դրա համար էլ այդ ինտրուզիան պետք է հաշվել որպես մինչալևնյան ժամանակաշրջանի էֆուզիվ հրարիականության դրսևորումներից մեկը։

ЦИТОЛОГИЯ

А. Г. Араратян

О хромосомах некоторых видов семейства Бурачниковых

(Представлено В. О. Гулканяном 29 III 1954)

Несмотря на довольно большой объем, около 90 родов с более чем 1500 видами, и широкую распространенность по всему земному шару, сем. Бурачниковых (Вогадівасеае) цитологически изучено недостаточно. Немного данных имеется и о хромосомах, причем в большинстве случаев они носят отрывочный характер. Первые данные о хромосомах бурачниковых встречаются в работе, вышедшей в 1917 году и касаются чисел хромосом двух видов незабудки (20). В следующей работе, опубликованной в 1931 году (18), приведены наблюдения о хромосомах 19 родов с 52 видами. Для многих видов даны также митотические и мейотические ядерные пластинки, правда, оставляющие желать лучшего в смысле детального изображения морфологии хромосом.

В более поздние годы и до последнего времени опубликовано несколько работ, касающихся то лишь чисел хромосом некоторых видов, иногда только одного вида (11. 13. 19), то лишь чисел и форм хромосом какого-либо рода с несколькими его видами (4.8), часто в связи с вопросами таксономии (6, 7, 9, 15, 16). В некоторых работах разбирается вопрос морфологии хромосом с той или иной целью (12), вопросыэмбриологический (14), полиплондии и гетероплондии ($^{5, 10, 17}$), миксоплондии (2) и др. Среди всех опубликованных работ по хромосомам бурачниковых особре место занимает работа Бриттона (3), вышедшая в 1951 году. Эта работа интересна, во-первых, по количеству исследованного матернала, 19 родов с 90 видами, и, во-вторых, тем, что автором сделан обзор литературы по хромосомам сем. Бурачниковых, правда, далеко неполный. Например, им использованы всего две работы советских авторов и не приводятся многие другие, касающиеся вопросов систематики и филогении семейства, хотя эти вопросы разбираются в его статье. Им не приведены даже работы о хромосомах бурачниковых (2). Кроме того, в его сводный список чисел хромосом вкрались ошибки. Например, упомянутую в работе Соколовской и

Стрелковой (17) приальпийскую незабудку Бриттон почему то называет лесной, между тем как вполне правильно отделяет два вида незабудки, приальпийскую и лесную, друг от друга, приведенные у Гризингера в качестве двух подвидов лесной незабудки (5). Повидимому, эти данные им взяты не непосредственно из названной работы, а через вторые руки, по всей вероятности из "Атласа хромосом культивируемых растений" Дарлингтона и Янаки, в котором они несколько изменены. Что же касается второй работы советского автора, работы Левитского, то и она приведена неправильно, очевидно, по той же причине.

В настоящей статье приводятся данные о хромосомах следующих 6 видов бурачниковых, растущих на территории Армянской ССР.

Воскоцветник малый (Cerinthe minor L.). Двулетник, довольно обычный в верхнем горном поясе. Растет на травянистых местах и сухих склонах, редко в посевах.

Чернокорень лекарственный (Cynoglossum officinale L.). Весьма обычное двулетнее растение, доходит до среднего горного пояса. Растет в кустарниках и на сорных местах.

Румянка пурпурная (Echium rubrum Jacq). Двулетнее растение, распространенное в горных районах. Часто растет большими зарослями. Является хорошим медоносом.

Воробейник полевой (Lithospermum arvense L.). Однолетник, поднимающийся до средней горной зоны. Растет в кустарниках, на сухих склонах и как сорное в посевах.

Незабудка лесная (Myosotis silvatica Hoffm.). Однолетник, иногда двулетник, доходит до средней и высокой горной зоны. Растет в лесах.

Рошелия двусемянная (Rochelia disperma (L.) Wettst.). Однолетник, распространенный в нижней и средней горной зоне. Растет на сухих склонах.

Семена, вернее членики плодов, для исследования частью собраны нами и частью получены из Ботанического сада Академии наук Арм. ССР. Фиксация произведена хром-апет-формолом по Навашину и хром-формолом по Левитскому. Окраска—железным гематоксилином.

В нижеприводимой таблице даются числа хромосом. Для сравнения приводятся также числа, известные в литературе.

	Числа	П	о данни	ым дру	гих ав	торов	
Название вида	хромосом	Стрей (28)	Гейтл. (4)	Гриз.	Л. и Л.	Бриг	TOIL
	2 n	n	n	11	2n	n	<u>2n</u>
Cerinthe minor L	18	9	-	-	-	9	18
Cynoglossum officinale L	24	12	-		-		24
Echium rutrum Jacq	12	-		-	00	11	-
Lithospermum arvense L	28	-	-	1 . 0	28	14	18
Myosotis silvatica Hoffm	48	100	16	16	1000	1.	10
Rochelia disperma (L.) Wettst	20	-		-	1 -	1-	-

Из шести приведенных в таблице видов два в отношении хромо-

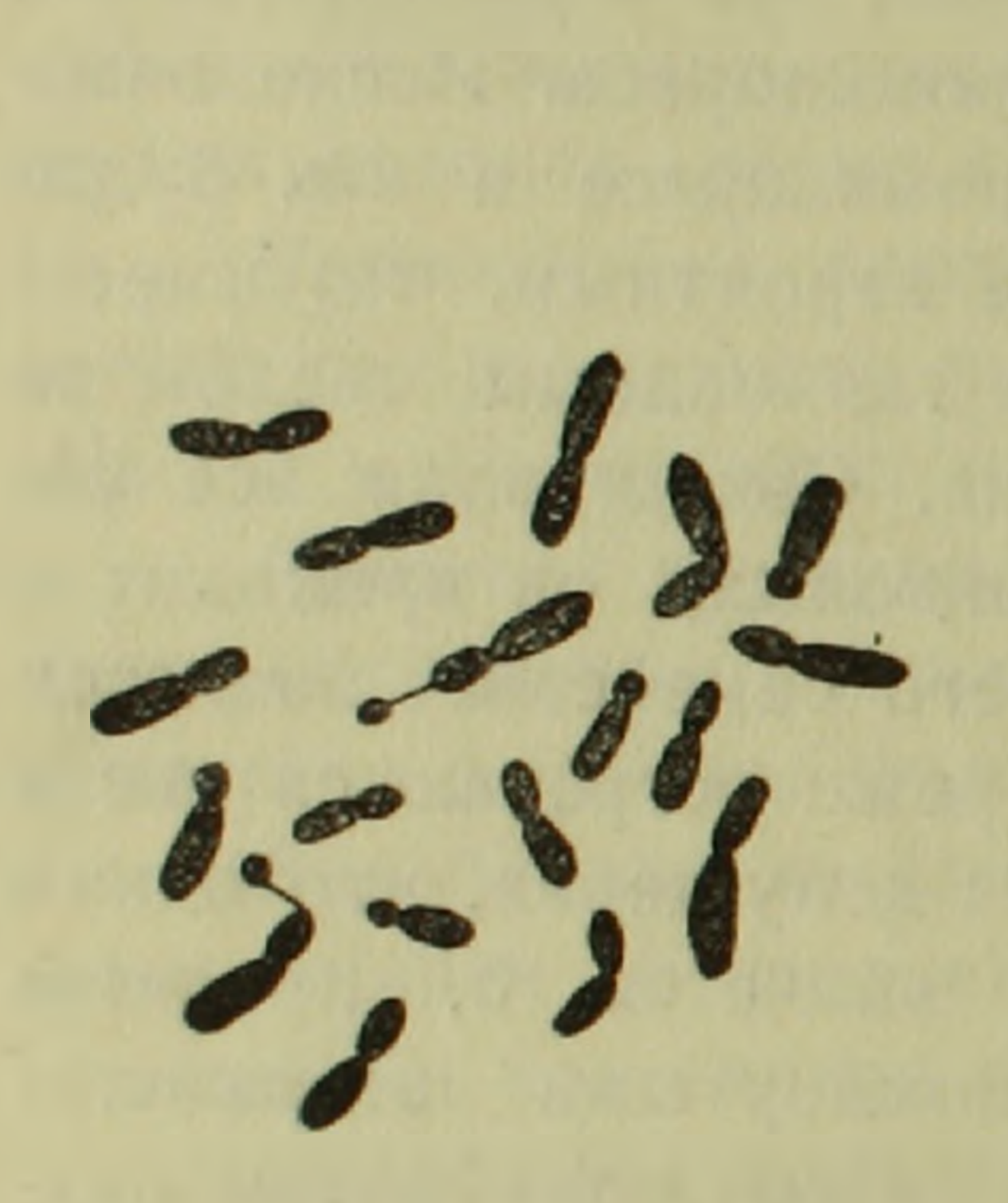
семянной приводится впервые, а румянки пурпурной вторично () у трех видов из остальных четырех найденные мною числа хромосом совпадают с числами, приведенными другими авторами. В числах хромосом лесной незабудки имеется некоторое расхождение. Даже в результате исследования одних и тех же авторов (4.5) на материале, собранном в том же месте, в Северном Тироле, и одним и тем же лицом, Веттштейном, получены разные числа, равные для гаплондных наборов 9 и 16. вовсе не составляющие полиплоидный ряд. Повидимому, авторы имели дело с двумя хромидорасами (по прежней терминологии "кариорасами"), поскольку по их уверениям исследованные растения внешне не отличались друг от друга. По другим данным подтверждается первое число—9 (3). Это значит, что в распоряжении последнего автора была одна определенная хромидораса. Исследованные нами растения соответствуют другой хромидорасе и как будто представляют ее триплоид. Нам кажется более вероятным, что имеется группа рас лесной незабудки с основным гаплондным числом не 16, а 8, что согласуется с выводами Бриттона. Сопоставляя все известные числа хромосом видов сем. Бурачниковых, он приходит к заключению, что основным числом для всего семейства является n=8. Другим числом он считает 7. Гораздо реже встречаются числа 6, 9, 11. 13; я бы прибавил еще 10. Исходя из допущения, что одним из основных чисел хромосом для незабудки является 8. придется признать, что раса 2n=32, изученная вышеупомянутыми авторами,тетраплондная, а наша армянская раса лесной незабудки-гексаплондная. Возможно предположить, что при поисках может быть найдена также диплоидная раса, 2n=16. Внутривидовые полиплоидные отношения были установлены для ряда видов. Например, у трех рас житняка (Agropyrum cristatum) соматический набор хромосом равняется 14, 28, 42 (1). У лесной незабудки вопрос усложняется тем, что у нее имеется два основных числа хромосом—9 и 16 (по нашему предположению не 16, а 8).

Для подсчета хромосом необходимо, чтобы они были четко разграничены на экваториальной пластинке, но этого недостаточно для выяснения их морфологии, так как очень часто хромосомы не показывают расчленения, вследствие чего представляются в виде палочек, причудливых крючочков и в других мало выразительных формах. Поэтому для выяснения морфологии хромосом приходится искать так называемые "удачные" пластинки, т. е. такие, на которых хорошо выражено расчленение хромосом. Хорошо выраженная морфология хромосом получается, во-первых, при удачной фиксации и окраске, а часто также при соответствующей предфиксационной обработке. Во-вторых, вполне возможно, что расчлененность связана с физиологическим состоянием ткани и стадией онтогенеза клетки.

Из исследованных шести видов бурачниковых нам удалось более или менее выяснить морфологию хромосом четырех видов. Хромидом (по прежней терминологии "кариотип") румянки пурпурной описан в

другой работе (3). Мы остановимся на описании хромосомных комплексов трех других видов-воскоцветника малого, воробейника полевого и рошелии двусемянной.

Хромосомы малого воскоцветника имеют хорошо выраженную морфологию (рис. 1). Среди 9 пар в первую очередь бросается в глаза пара со спутниками. Затем хорошо отличаются две пары "головчатых", т. е. с одним из двух плеч в виде шарика. Эти две пары слегка отличаются друг от друга по общей длине. Остальные шесть пар хромосом-равноплечие или неравноплечие, также разной общей величины. Отношение между длиной наибольших и наименьших хромосом равно 2:1.



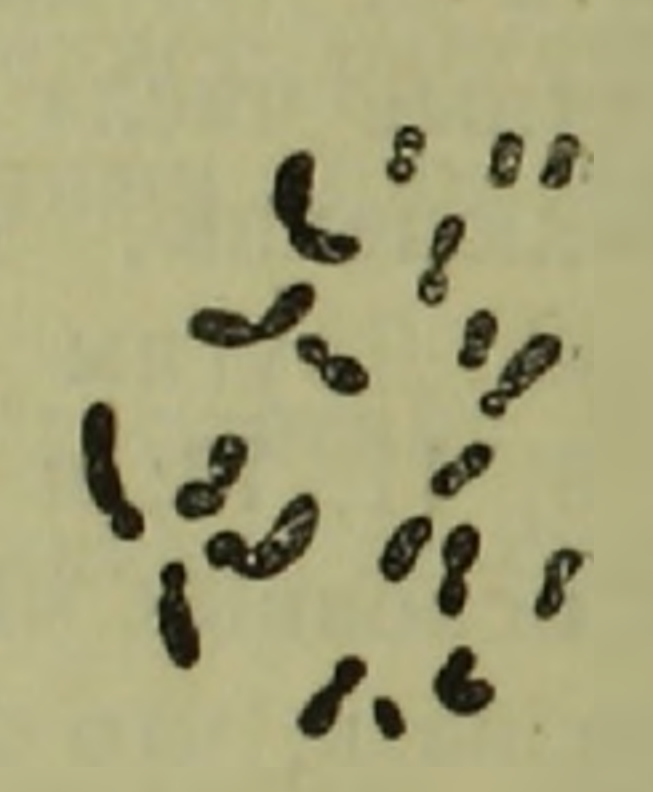


Рис. 1. Экваториальная пластинка Cerinthe minor L. $3500 \times$.

Рис. 2. Экваториальная пластинка Lithospermum arvense L. 3500×. риальная пластинка

Рис. 3. Эквато-Rochelia disperma (L.) Wettst. $3500 \times$.

Приблизительно такой же величины, как у предыдущего вида, хромосомы полевого воробейника (рис. 2). Прежде всего отмечаются три пары хромосом со вторичной перетяжкой, следовательно, имеющих по три членика, два из которых довольно длинные, третий, всегда конечный, членик-"головка". Затем можно отметить одну пару "головчатых" хромосом. Остальные пары, в числе десяти хромосом, являются равноплечими, почти равноплечими и неравноплечими разной общей длины. Здесь также отношение между длиной наибольших и наименьших хромосом равно 2:1.

Хромосомы двусемянной рошелии очень мелки (рис. 3). Наибольшие из них почти равны наименьшим хромосомам вышеописанных двух видов. Наименьшие ее хромосомы приблизительно в 3-31/2 раза короче наибольших на той же пластинке. Десять пар хромосом можно по величине разделить на три группы-три пары сравнительно больших, три пары средних и четыре пары маленьких. Из трех пар больших хромосом одна пара состоит из равноплечих, две другие-из "головчатых". Так же можно характеризовать три пары хромосом средней величины. Наконец, все четыре пары наименьших хромосом являются равноплечими, вернее "двуголовчатыми", так как их плечи очень коротки и имеют форму шариков.

Как уже указывалось выше, описанные пластинки являются выборными, "напудачными", с наилучше выраженной расчлененностью. Наряду с ними нам попадались пластинки с менее выраженной расчлененностью хромосом, с несколько другим отношением длины плеч, иной общей величиной хромосом, часто резко укороченных, с остатком ядрышка, у воскоцветника часто удается обнаружить лишь один спутник и т. д. Такая изменчивость хромосом обычно встречается у всех растений, почти на всех препаратах с митотическими фигурами. Однако из этого не нужно делать вывода, что описанные выше пластинки являются чисто случайными—это отнюдь не так. Они являются в известных пределах типичными для вида, как наилучше выраженные, подобно тому, как для диагноза растительного вида берутся наилучше оформленные экземпляры, а не недоросшие растения с недоразвитыми органами.

У воскоцветника, как и у румянки, на поперечных срезах корешков попадалось много пластинок с удвоенными хромосомами. Была наблюдена пластинка с удвоенным набором хромосом, 2п=36. Такие же пластинки с удвоенными хромосомами и удвоенным набором можно видеть и на препаратах воробейника. Это интересное явление, впервые описанное еще в конце прошлого столетия и впоследствии названное полисоматией, нуждается в коренном пересмотре с позиций передовой биологии. В этом отношении, наряду со шпинатом, коноплей, облепихой и другими известными растениями с естественной полисоматией, много фактического материала могут дать также некоторые виды из сем. Бурачниковых.

Армянский сельскохозяйственный институт

Ա. Գ. ԱՐԱՐԱՏՅԱՆ

Գաղարիկազգիների ընտանիքի մի քանի տեսակների թումոսունների մասին

ՁՆայած իր րավական մեծ ծավալին, 90 ցեղ՝ ավելի քան 1500 տեսակներով, և լայն տարածմանը՝ դադարիկազգիների ընտանիքը ըջջարանական տեսակետից ուսումնասիրված է չատ թույլ։ Առայժմ հետաղոտման են ենթարկված ընդամենը 90 տեսակներ, որոնք պատկանում են 19 դեղևրի։

Սույն հողվածում ընթված են տվյալներ վեց տեսակների քրոմոսոմների մասին։ Կտաղոտված են սերմերից ստացված նորածիլ արմատների ծայրերը։ Ֆիջսումբ կատար-Սույն հողվածում ընթված են տվյալներ վեց տեսակների ծայրերը։ Ֆիջսումբ կատար-Սույն հողվածում ընթված են տվյալներ

20, իսկ երկրորդինը՝ 12 բրոմոսոմ։ Այս վերջին Թիվը մեր կողմից բերված է նաև ավելի -առաջ (²)։

Մնացած չորս տեսակներից երեքի վերաբերյալ մեր ըերած Թվերը հաստատում են գրականության մեջ բերված տվյալները։ Այսպես, փոքր մոմախոտն ունի 18, դեղայնային պորտնուկը 24 և դաչտային կաքավկրկուտը՝ 18 քրոմոսոմ։

Վեցերորդ տեսակի՝ անտառային անմոռուկի վերաբերյալ մեր բերած թիվը խիստ տարբերվում է այլ հեղինակների տվյալներից։ Դրականության մեջ այդ տեսակի համաբ բերված է երկու հապլոիդ թիվ՝ 9 և 16, մինչդես մեր տվյալներով նրա արմատային բջիջ ներում կա 48 քրոմոսոմ, հետևապես հապլոիդ թիվը կլինի 24։ Եթե բոլոր դհալքերի համար էլ բերենք դիպլոիդ թվերը, ապա կստացվի՝ 18, 32, 48։ Պետք է ասել, որ դադարիկ ազգիների ընտանիքի րույսերի համար քրոմոսոմների մի քանի հիմնական թվեր են հայտնի, որոնց մեջ ամենից հաճախ հանդիպում է 8-ը։ Եթե նկատի ունենանք, նաև որ չատ տեսակներ ունենում են քրոմոսոմային անմուսւմ է 8-ը։ Եթե նկատի ունենանք, նաև որ հետևյալ ենթադրությունը, անտառային անմուսուկի հիմնական քրոմոսոմային թիվերն են հետևյալ ենթադրությունը, անտառային անմոսուկի հիմնական քրոմոսոմային թիվերն են 8 և 9։ 32-ը հանդիսանում է առաջին թվի տետրապլոիդը, իսկ 48-ը՝ հեքսապլոիդը։ Հավանարար բնության մեջ կարելի է դտնել նաև ավելի պարդ քրոմոսոմային ռասսան, որի արմատների ըջիջներում կլինի է դտնել նաև ավելի պարդ քրոմոսոմային ռասսան, որի արմատների ըջիջներում կլինի 16 քրոմոսոմ։

Ուպումնասիրված է մեր հետազոտած տեսակներից չորսի քրոմիդոմը՝ «կարիոտիպը» (տե՛ս նկ. նկ. 1, 2, 3)։ Ծիրանեղույն իժախոտի քրոմիդոմը նկարադրված է մի այլ հողվածում (²)։

Բոլոր վեց տևսակների րջիջներում էլ դիտված են քրոմոսոմների փոփոխականության րազմաթիվ ղեպքեր։ Մհր նկարագրած հասարակածային թիթեղները հանդիսանում են տիպական։

ЛИТЕРАТУРА— РРЦЧЦЪПЬВЗЯРЪ

1 А. Г. Арарамян, Советская Батаника, 6, стр. 109—111, 1938. 2 А. Г. Арарамян, ДАН СССР, 59, 7, стр. 1333—1335, 1948. 3 Д. М. Бриттон, Brittonia, vol. 7, No. 4, pp. 233—266, 1951. 4 Л. Гейтлер, Jahrb. Wiss. Bot., 83, SS. 707—724, 1936. 5 Р. Гризингер, Вег. Deutsch. Bot. Ges., В. 55, Н. 9, SS. 556—571, 1937. 6 М. Р. Левинс, Апп. Вот., Vol. 48, pp. 355—362, 1934. 7 Р. Литардиер, Bull. Soc. Hist. Nat. Afr. Nord, vol. 32, pp. 315—330, 1941. 8 Р. Литардиер, Boissiera, 7, pp. 155—165, 1943. 9 А. Лёв. и Д. Лёв, Kungl. Fysiogr. Sālsk. Lund Förhand, 12, pp. 1—19, 1912. 10 А. Лёв и Д. Лёв, Негеditas, 29, pp. 145—163, 1943. 11 А. Лёв и Д. Лёв, Ark. Вот., vol. 31A, No. 12, pp. 1—22, 1944. 12 Х. Мацура и Т. Сато, Journ. Faculty of Sci. Hokkaido Imp. Univ. V Ser., 5, pp. 33—75, 1935. 13 Г. Реезе, Вег. Deutsch. Вот. Ges., В. 71, Н. 1, SS. 66—74, 1953. 14 Х. Г. Свенсон, Upsala Univ. Arsskr., 2, 1925. 15 С. Г. Смит, Nature, 128, pp. 493—494, 1931. 16 С. Г. Смит, Bot Gas., 94, pp. 394—403, 1932. 17 А. П. Соколовская и О. С. Стрелкова, ДАН СССР, 32, 2. стр. 145—147, 1941. 18 М. Стрей, Planta, 14, SS. 682—730, 1931. 19 Т. Сугиура, Cytologia, vol. 7, No. 4, pp. 544—595, 1936. О. Винге, С. R. Trav. Labor. Cirlsberg, vol. 13, pp. 131—275. 917.

XVIII

1954

3

ЭНТОМОЛОГИЯ

С. А. Вардикян

Описание нового вида пяденицы из рода Eupithecia Curt. (Lepidoptera, Geometridae) из Армянской ССР

(Представлено Г. X. Бунятяном 14 XII 1953)

В результате обработки материала, собранного автором в течение-1952 года, и просмотра коллекции бабочек ЗИН Академии наук СССР (Ленинград), обнаружен новый вид пяденицы, описание которого приводится ниже.

Eupithecia richteri sp. nov. По строению полового аппарата (рис. 1 и 2) и рисунку крыла относится к группе Eupithecia graphata Tr.

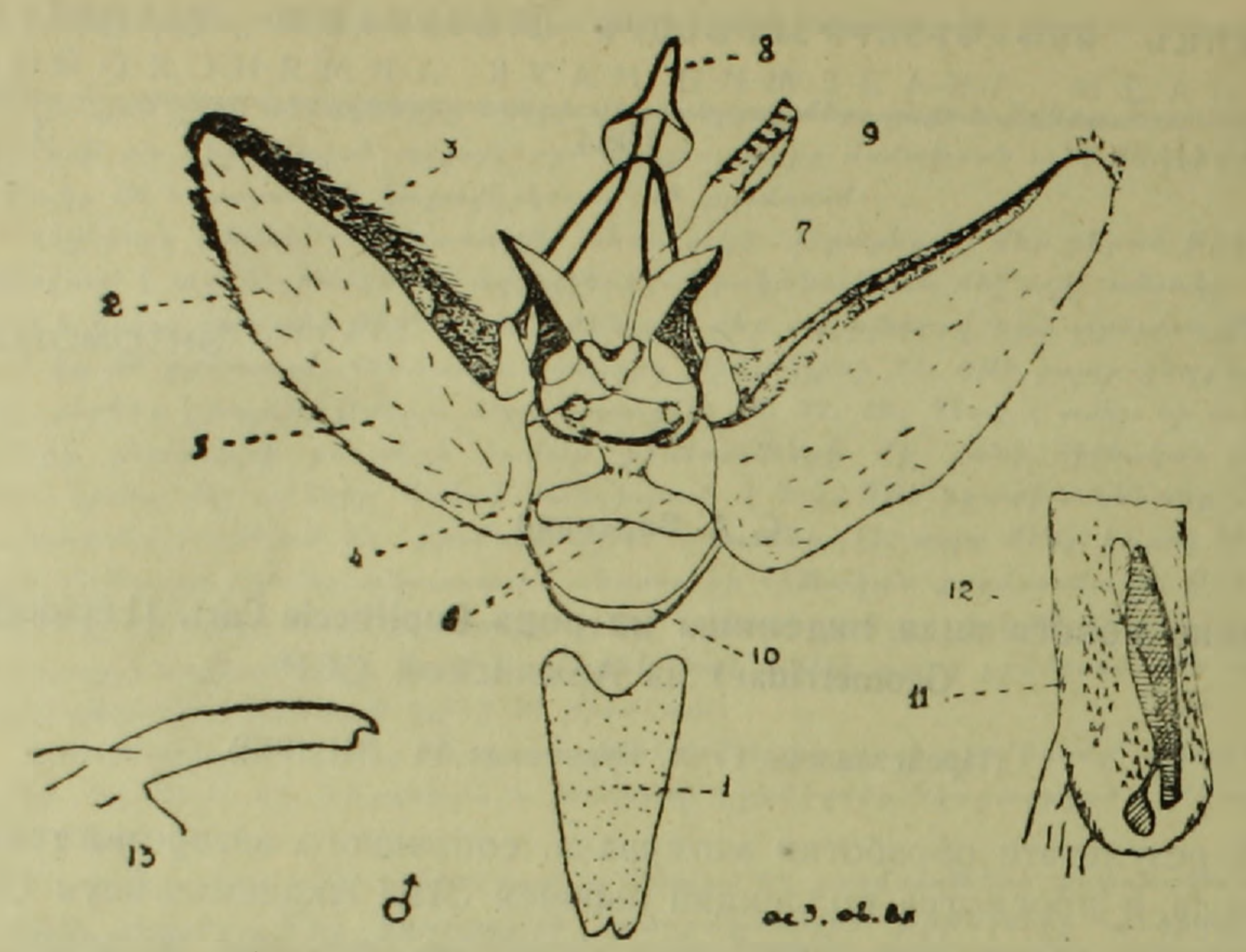
Размах крыльев 15-18 мм. Общая окраска буровато-серая; костальное поле слегка темное. Из многочисленных перевязей на передних крыльях более выражена наружная. Она несколько шире других, беловатая, с более резким внешним окаймлением (у некоторых особей окаймление почти черноватое, его угол на раднусе слабо выражен, часто почти отсутствует). Остальные перевязи менее различимы, нередко смыты, с более тонким окаймлением. Все перевязи слабо волнистые. Наружное поле почти одноцветное. Задние крылья с тем же рисунком, но более смытым, а в прикорневой области рисунок почти отсутствует. Дискальные пятна на всех крыльях выражены ввиде черных точек, которые более отчетливы снизу.

Снизу крылья беловатые, с более заметным рисунком лишь в наружной части крыла. Краевая линия образована из черных прямых шірихов. Бахрома, особенно на задних крыльях, светлая, с темнымы

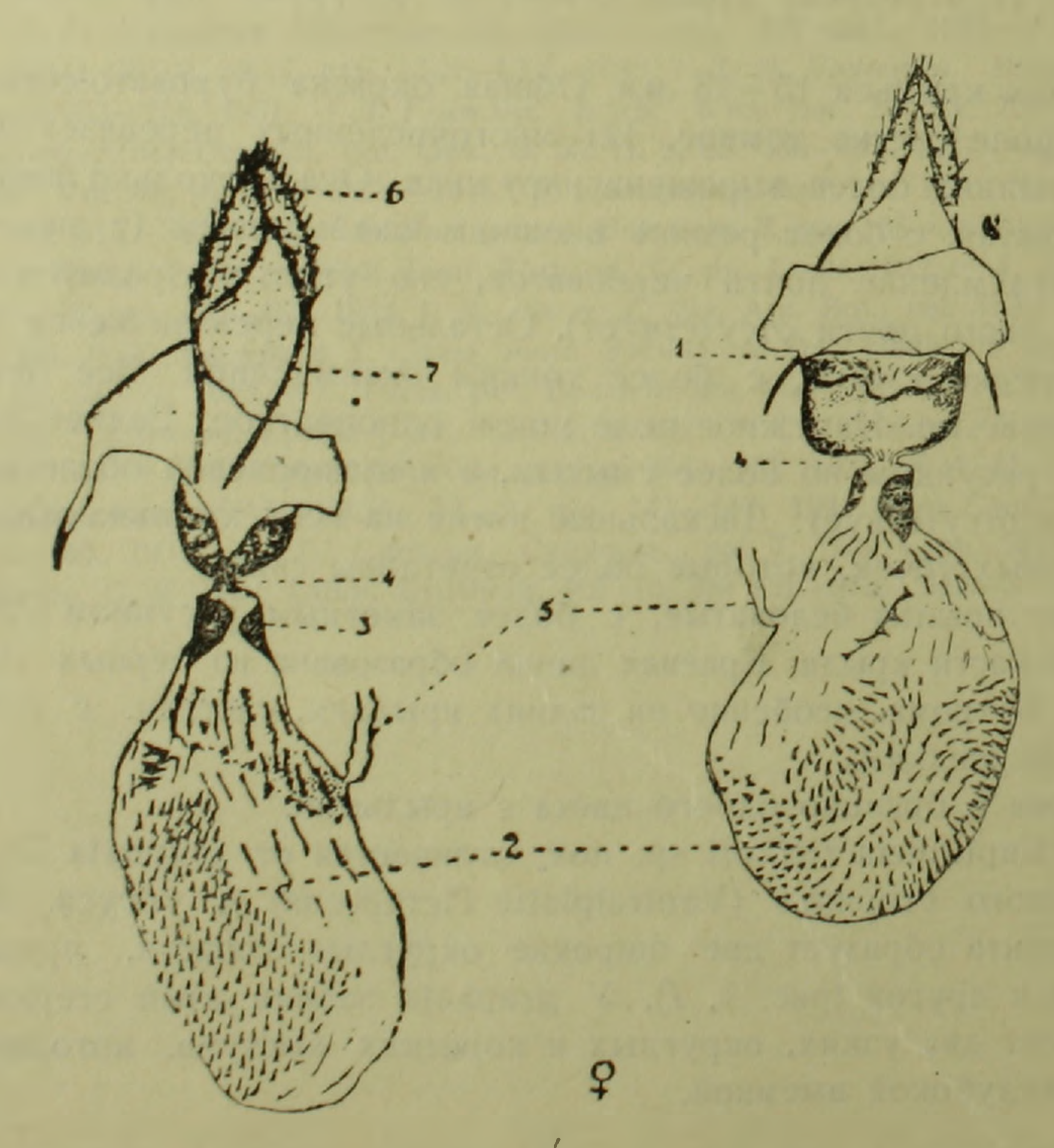
пятнами по жилкам.

Голова и брюшко одного цвета с крыльями.

Вид Eupithecia richteri sp. nov. отличается от graphata Tr. формой восьмого стернита (Ventralplatte Петерсена) и ункуса. Задний край стеринта образует две широкие округлые лопасти, примыкающие одна к другой (рис. 1, 1). У graphata задний край стернита по бокам несет два узких. округлых и коротких выступа. которые разделены неглубокой выемкой.



Puc. 1. Eupithecia richteri sp. nov. — самец. 1 — восьмой стернит; 2—valva, 3—дорзальвый кант; 4—sacculus; 5—valvula; 6—vallum penis; 7—labides; 8—uncus; 9— papilla analis; 10—saccus; 11—penis, 12—pars inflabilis; 13—uncus сбоку.



Puc. 2. Empithecia richteri sp. nov.—санка. /—ostium bursae; 2—покрытые шипами участки corpus bursae; 3—хитинизованный участок при основании corpus bursae; 4—ductus bursae; 5—ductus seminalis; 6—papillae anales; 7—apophyses posteriores.

В отличие от graphata вершина нижней ветви ункуса тупая, широко отставлена от верхней (рис. 1, 10).

Отличия в строении копулятивной сумки менее отчетливы, так как детали ее вооружения и у graphata колеблются.

Тип самец хранится в коллекциях Зоологического института Академии наук Арм. ССР (окрестности г. Еревана, Зоопарк, 20. VIII. 1952, Вардикян). Паратипы находятся в коллекциях Зоологического института Академии наук Арм. ССР (окрестности г. Еревана, Зоопарк, 20—27. VIII. 1952, Вардикян) и Зоологического института Академии наук СССР (Нахичеванская АССР, Ордубад, 1. VI. 1934, Рябов). Вид держится в скалистых ущельях и, очевидно, дает два поколения в год.

Зоологический институт Академии наук Армянской ССР

ሀ. Ա. ՎሀቦԴ Ի ԿՅԱՆ

Երկրայափ թիթեռի նոր տեսակի նկարագրություն Eupithecia սեռից (Lepidoptera, Geometridae)

Մշակելով հեղինակի կողմից հավաքած 1952 Թ. նյութը և նայելով ՍՍԻՄ ԳիտուԹյունների ակաղեմիայի Կենդանարանական ինստիտուտի երկրաչափ Թիթեռների կո
լեկցիաները, հայտնարերված է երկրաչափ Թիթեռի նոր տեսակ Eupithecia richteri
sp. 1100.1

Մեյս տեսակը պատկանում է Eupithecia graphata Tr. խմբին, որից տարբերվում է

ЛИТЕРАТУРА - ԳՐՍԱԿԱՆՈՒԹՅՈՒՆ

British Islands. Liverpool, 1914. 2 Petersen, Ein Beitrag zur Kenntnis der Gattung Tephroclystia Curt. Deutsche Entomologische Zeitschrift "Iris". Band XXII, 1909. * Staudinger O. und Rebel H., Catalog der Lepidopteren des Palaarktischen Faunengehietes. 1 Teil. Berlin, 1901.

